

PARTE 7

• SPECIFICHE (x GUADAGNO D'ANELLO)

1) PRECISIONE STATICA

$$1) w(t) = W \cdot 1(t) \rightarrow e(\infty) = \frac{W}{1+\mu} + \frac{D}{1+\mu} = \frac{W+D}{1+\mu} \approx \frac{W+D}{\mu} \rightarrow \mu = L(0) = \frac{W+D}{e}$$

$$d(t) = D \cdot 1(t)$$

$$2) W(s) = W/s^\kappa$$

$$D(s) = D/s^\kappa \rightarrow \kappa \text{ poli in } L(s) \rightarrow \text{in } R(s)$$

$$e(0) = 0$$

2) PRECISIONE DINAMICA

$$\left. \begin{array}{l} 1) S/\leq S^* \rightarrow \varepsilon \geq \varepsilon^* \\ T_{0,1} \leq T^* \rightarrow \varepsilon \omega_n \geq 4.6/T^* \\ \omega_n \approx \omega_c \rightarrow M_f \geq 100 \cdot \varepsilon^* \end{array} \right\} \rightarrow M_f \omega_c \geq \frac{460}{T^*}$$

3) ABBATTIMENTO d(t)

Vogliamo abbattere di A_d dB, nel range $[\omega_{d,min}; \omega_{d,max}]$, il disturbo $d(t) = D \cos(\omega t + \varphi)$

$$\text{Poi } D(s) = \mathcal{L}[d(t)] = D \cdot \frac{s \cos(\varphi) - \omega \sin(\varphi)}{s^2 + \omega^2}, \text{ e } Y_d(s) = S(s) D(s)$$

E abbatterlo di A_d dB vuol dire che vogliamo che $|Y_d(j\omega)|_{dB} \leq |D(j\omega)|_{dB} - |A_d|_{dB}$

$$\text{Ovvero } |S(j\omega)|_{dB} + |D(j\omega)|_{dB} \leq |D(j\omega)|_{dB} - |A_d|_{dB} \rightarrow |S(j\omega)|_{dB} \leq -A_d \text{ dB con } A_d > 0$$

Ora poi sappiamo che $|S(j\omega)|_{dB} \approx \begin{cases} -|L(j\omega)|_{dB} & \text{se } \omega \leq \omega_c \\ 0 & \text{se } \omega > \omega_c \end{cases}$ e siccome il disturbo si verifica

a basse frequenze possiamo dire che $-|L(j\omega)|_{dB} \leq -A_d \text{ dB}$ ovvero $|L(j\omega)|_{dB} \geq A_d \text{ dB}$

4) ABBATTIMENTO di n(t)

Vogliamo abbattere di A_n dB, nel range $[\omega_{n,min}; \omega_{n,max}]$, il disturbo $n(t) = N \cos(\omega t + \varphi)$

$$\text{Poi } N(s) = \mathcal{L}[n(t)] = N \cdot \frac{s \cos(\varphi) - \omega \sin(\varphi)}{s^2 + \omega^2}, \text{ e } Y_n(s) = -F(s) N(s)$$

E abbatterlo di A_n dB vuol dire che vogliamo $|Y_n(j\omega)|_{dB} \leq |N(j\omega)|_{dB} - |A_n|_{dB}$

$$\text{Ovvero } |F(j\omega)|_{dB} + |N(j\omega)|_{dB} \leq |N(j\omega)|_{dB} - |A_n|_{dB} \rightarrow |F(j\omega)|_{dB} \leq -A_n \text{ dB con } A_n > 0$$

Ora poi sapendo che $|F(j\omega)|_{dB} \approx \begin{cases} 0 & \omega \leq \omega_c \\ |L(j\omega)|_{dB} & \omega > \omega_c \end{cases}$ e siccome il disturbo si verifica ad alte

frequenze, possiamo dire che $|L(j\omega)|_{dB} \leq -A_n \text{ dB}$

5) MODERAZIONE di u(t)

Vogliamo contenere l'ampiezza di $u(t)$, dato in ingresso $w(t) = W \cos(\omega t + \varphi)$

$$\text{Sappiamo che } U_w(s) = Q(s) W(s) \rightarrow u(t) = |Q(j\omega)| W \cos(\omega t + \varphi + \arg\{Q(j\omega)\})$$

Per contenere $u(t)$, dobbiamo quindi considerare $|Q(j\omega)|$, di cui sappiamo che

$$|Q(j\omega)|_{dB} \approx \begin{cases} -|G(j\omega)|_{dB} & \text{se } \omega \leq \omega_c \\ |R(j\omega)|_{dB} & \text{se } \omega > \omega_c \end{cases}$$

questi sono gli unici su cui possiamo agire
 $\rightarrow \omega_c$ limitata e/o $R(j\omega)$ passa-basso

6) FISICA REALIZZABILITÀ DEL REGOLATORE

Il sistema deve essere proprio $\rightarrow \text{grado}\{\text{poli}\} / \text{grado}\{\text{zero}\} \geq 0$

$$\text{Quindi dati } \begin{cases} K_L = n_{\text{zeri-L}} \cdot 20 - n_{\text{poli-L}} \cdot 20 & \text{pendenza effettiva di } |L(j\omega)|_{dB} \text{ a pulsaz. elevate} \\ K_G = n_{\text{zeri-G}} \cdot 20 - n_{\text{poli-G}} \cdot 20 & \text{pendenza effettiva di } |G(j\omega)|_{dB} \text{ a pulsaz. elevate} \end{cases}$$

Siccome vogliamo più poli in $L(j\omega)$, avremo che $K_L \leq K_G$

• SINTESI REGOLATORE STATICO

Serve a risolvere i vincoli come: precisione statica e attenuazione $d(t)$

1) $R_S(s) = M_S \geq \frac{W+D}{C_\infty} \longrightarrow$ e' vincolo su $R(s) \longrightarrow M_d$ non potrà essere scelto liberamente

2) $R_S(s) = \frac{M_S}{s^N} \longrightarrow$ maggiore libertà x M_d

• SINTESI REGOLATORE DINAMICO

Serve a risolvere vincoli come:

stabilità robusta, precisione dinamica, attenuazione $u(t)$, moderazione controllo e fisica realizzabilità

Consideriamo $G_e(s) = G(s) \cdot R_S(s)$

1) SCENARIO A

Nell'intervallo di pulsazioni ω_c ammissibili (x vincolo su M_φ), e' presente un sottointervallo in cui $\arg\{G_e(j\omega)\} \geq M_\varphi$

Azioni possibili:

1) M_d libero $\longrightarrow R_d(s) = M_d = 10^{\frac{|G_e(j\omega_d)|_{dB}}{20}} < 1 \longrightarrow$ traslazione fino alla " ω_c desiderata" $\rightarrow \omega_d$

2) M_d bloccato $\longrightarrow R_d(s) = \frac{1+\lambda\tau s}{1+\tau s}$ RETE RITARDATRICE

\longrightarrow attenuazione ad alta frequenza di $20 \log(\lambda)$ e sfasamento trascurabile

2) SCENARIO B

Nell'intervallo di pulsazioni ω_c ammissibili (x vincolo su M_φ), non e' presente un sottointervallo in cui $\arg\{G_e(j\omega)\} \geq M_\varphi$

Azioni possibili:

1) aggiunta di zeri a pulsazioni precedenti a quella di attraversamento desiderata

2) aggiunta di poli a pulsazioni alte per fisica realizzabilità e per evitare eccessiva amplificazione

Cio' e' possibile usando una o più RETI ANTICIPATRICI $\longrightarrow R_d(s) = \frac{1+\tau s}{1+\lambda\tau s}$

A questo punto:

1) ω_c e' a posto e M_φ e' rispettato

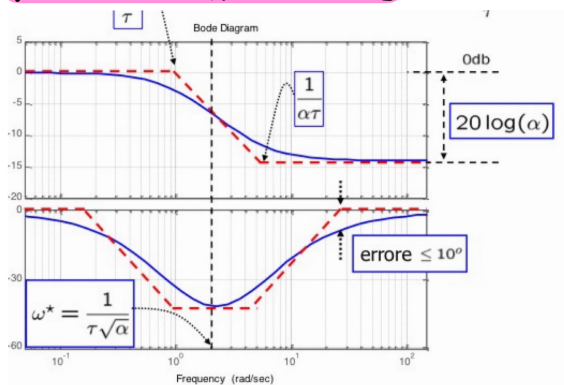
2) ω_c e' fuori posto ma esiste un sottointervallo che rispetta $M_\varphi \longrightarrow$ SCENARIO A

1) M_d libero \longrightarrow scelgo $M_d < 1 \longrightarrow R_d(s) = M_d \frac{1+\tau s}{1+\lambda\tau s}$

2) M_d bloccato $\longrightarrow R_d(s) = \frac{1+\lambda\tau s}{1+\tau s} \cdot \frac{1+\tau s}{1+\lambda\tau s}$

APPLICO PRIMA
RETE RITARDATRICE

• RETE RITARTRICE



$$R_d(s) = \frac{1 + \alpha\tau s}{1 + \tau s} \quad \text{con } 0 < \alpha < 1$$

1) TUNING APPROSSIMATO

CAMBIAAMO FASE MA NON DI TROPPO

$$\text{calcoliamo } \alpha \text{ e } \tau : \arg\{L(j\omega^*)\} \approx \arg\{G_c(j\omega^*)\}$$

$$1) 20 \log(\alpha) \approx -|G_c(j\omega^*)|_{dB} \rightarrow 0 < \alpha < 1$$

$$\text{perché } |G_c(j\omega^*) \cdot R_d(j\omega^*)|_{dB} = 0 \\ \rightarrow 20 \log(\alpha) < 0!!!$$

$$2) \frac{1}{\alpha\tau} \leq \frac{\omega_c^*}{10} \text{ lo zero deve essere almeno una decade prima, per far alzare abbastanza la fase}$$

2) FORMULE DI INVERSIONE

calcoliamo α e τ : con $|L(j\omega^*)|_{dB} = 0$, attenuazione $0 < M^* < 1$ e sfasamento $-\pi/2 < \varphi^* < 0$

$$\text{Ovvero } R_d(j\omega_c^*) = M^* e^{j\varphi^*}$$

$$\frac{1 + \alpha\tau j\omega_c^*}{1 + \tau j\omega_c^*} = M^* (\cos(\varphi^*) + j \sin(\varphi^*))$$

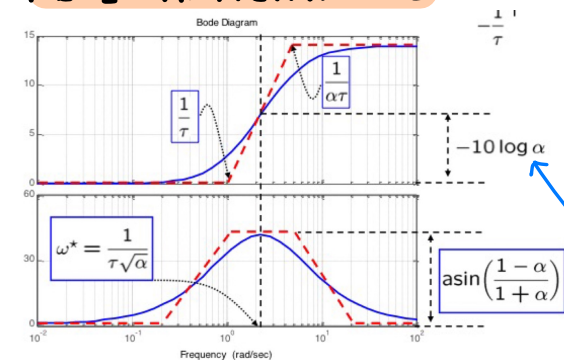
$$\begin{aligned} 1 + \alpha\tau j\omega_c^* &= M^* (\cos(\varphi^*) + j \sin(\varphi^*)) \cdot (1 + \tau j\omega_c^*) = \\ &= \underline{M^* \cos(\varphi^*) - M^* \omega_c^* \tau \sin(\varphi^*)} + j \underline{(\omega_c^* \tau M^* \cos(\varphi^*) + M^* \sin(\varphi^*))} \end{aligned}$$

$$\begin{cases} 1 = M^* \cos(\varphi^*) - M^* \omega_c^* \tau \sin(\varphi^*) & \rightarrow \text{ricavo } \tau \\ \omega_c^* \tau M^* \cos(\varphi^*) + M^* \sin(\varphi^*) = 0 & \rightarrow \text{ricavo } \alpha\tau \end{cases}$$

$$\tau = \frac{\cos \varphi^* - \frac{1}{M^*}}{\omega_c^* \sin \varphi^*}$$

$$\alpha\tau = \frac{M^* - \cos \varphi^*}{\omega_c^* \sin \varphi^*}$$

• RETE ANTICIPATRICE



$$R_d(s) = \frac{1 + \tau s}{1 + \alpha\tau s} \quad \text{con } 0 < \alpha < 1$$

L'effetto utile è che abbiamo uno sfasamento positivo a cui però è associata una amplificazione

FORMULE DI INVERSIONE

Calcoliamo α e τ : con $|L(j\omega_c^*)|_{dB} = 0$ ci sia amplificazione $M^* > 1$ e sfasamento $0 < \varphi^* < \pi/2$

$$\text{Ovvero } R_d(j\omega_c^*) = M^* e^{j\varphi^*}$$

$$\frac{1 + \tau j\omega_c^*}{1 + \alpha\tau j\omega_c^*} = M^* (\cos(\varphi^*) + j \sin(\varphi^*))$$

E procedo come per la rete ritardatrice \rightarrow

$$\tau = \frac{M^* - \cos \varphi^*}{\omega_c^* \sin \varphi^*}$$

$$\alpha\tau = \frac{\cos \varphi^* - \frac{1}{M^*}}{\omega_c^* \sin \varphi^*}$$

CAPITOLO 8

Ci chiediamo come variano i poli di $F(s)$ in base a un guadagno K del regolatore in un anello chiuso da cui

$$F(s) = \frac{KR(s)G(s)}{1 + KR(s)G(s)} = \frac{KL(s)}{1 + KL(s)}$$

• LUOGO DELLE RADICI

Sia $L(s) = \frac{N(s)}{D(s)} \longrightarrow F(s) = \frac{KN(s)}{D(s) + KN(s)}$

\longrightarrow Zeri di $F(s)$ sono zeri di $L(s)$
 \longrightarrow Poli di $F(s)$ dipendono da zeri e poli di $L(s)$

I poli sono dati da $D(s) + KN(s) = 0 \longrightarrow K = \frac{-D(s)}{N(s)}$

$\begin{cases} K=0 \longrightarrow D(s)=0 & \text{POLI } \{F(s)\} \equiv \text{POLI } \{L(s)\} \\ K=\infty \longrightarrow N(s)=0 & \text{POLI } \{F(s)\} \equiv \text{ZERI } \{L(s)\} \end{cases}$

• REGOLE DI TRACCIAMENTO (n poli \geq m zeri in $L(s)$)

1) Il luogo ha tanti rami quanti sono i poli del sistema in catena aperta

2) m rami: polo $\{L(s)\} \longrightarrow$ zeri $\{L(s)\}$

n-m rami: polo $\{L(s)\} \longrightarrow \infty$

3) Il luogo è simmetrico rispetto all'asse reale

4) I punti dell'asse reale che appartengono al luogo sono quelli che lasciano alla propria destra un numero dispari di singolarità

5) I rami che tendono ∞ , seguono asintoti che si intersecano nell'asse reale in $\sigma_a = \frac{1}{n-m} \left(\sum_{i=1}^m z_i - \sum_{i=1}^n p_i \right)$

6) L'angolo che forma il γ -esimo asintoto con l'asse reale è $\theta_{a,\gamma} = \frac{(2\gamma+1)\pi}{n-m}$ con $\gamma = [0, n-m-1]$

7) Quando $n-m \geq 2$, la somma dei poli è costante al variare di K , il suo baricentro è $\sigma_b = -\frac{1}{n} \sum_{i=1}^n p_i$

8) La tangente al ramo uscente da un polo semplice $-p_j$ forma con l'asse reale l'angolo

$$\alpha_j = 180^\circ + \sum_{i=1}^m \boxed{\theta_i} - \sum_{i \neq j} \boxed{\varphi_i} \longrightarrow \text{POLO}$$

\downarrow
zero

9) La tangente al ramo entrante da uno zero semplice $-z_j$ forma con l'asse reale l'angolo

$$\beta_j = 180^\circ - \sum_{i \neq j} \theta_i + \sum_{i=1}^m \varphi_i$$

10) Eventuali punti di incrocio di rami sull'asse reale si possono determinare trovando i max e min della

funzione $\gamma(x) = -\frac{D(x)}{N(x)} \longrightarrow \begin{cases} x_{\min}, x \in \text{luogo} \longrightarrow \text{rami divergono da } \bar{x} \\ x_{\max}, x \in \text{luogo} \longrightarrow \text{rami convergono in } \bar{x} \end{cases}$